ポストテンション方式 PC のグラウト充填率がコンクリート表面ひび割れに与える影響の実験的検討

京都大学 学生員 〇鈴木佑典 西日本旅客鉄道 (株) 正会員 近藤拓也 京都大学 正会員 高谷 哲 京都大学 正会員 山本貴士 フェロー会員 宮川豊章 京都大学

1. はじめに

コンクリート中に存在する鋼材は、塩化物イオンの存在等により腐食し、コンクリートにひび割れを生じ させる可能性がある.しかし、ポストテンション方式プレストレストコンクリート(以下, PC と表記する)の 場合、コンクリート表面に発生するひび割れと PC 鋼材やシースの腐食との関係が必ずしも明らかではない ため、コンクリート外部の状況からコンクリート内部の状況を推測することは難しい、そこで、コンクリー ト中に塩化物イオンが存在する場合のポストテンション方式 PC 桁を模擬し、シースの腐食、グラウトの充

填率、プレストレス量とコンクリート表面に発生するひび割れ の関係について、電食試験を行うことにより検討した.

2. 実験概要

2. 1 試験要因

試験供試体一覧を**表-1**に示す. 試験要因はプレストレス導入 の有無, グラウトの充填率とした. プレストレス導入量は, PC 鋼材の引張強度 (1080N/mm^2) の 60%とした. グラウトの充填率 は 100%, 50%, 塩水充填の 3 種類とした. ここで, グラウト 充填率 50%とは、充填高さがシース径の 1/2 の状態である .

また, 塩水充填には質量濃度 5%の NaCl 溶液を用 いた. 積算電流量は43.2h·A と64.8h·A の2種類 とした.

2. 2 供試体

供試体側面図を図-1 に示す. 供試体中央に鋼製 シース(φ40mm)を配置し、その中に PC 鋼棒 $(\phi 9.2 \text{mm}, f_{\text{pu}}=1080 \text{N/mm}^2)$ を 1 本配置した. 塩水

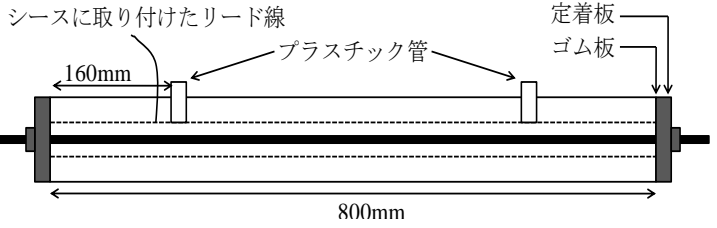
充填タイプには、供試体上面に突き出るようシースにプラスチック管 (φ20mm)を2個取り付けた.プレストレスを導入する供試体については,コ ンクリート(W/C=40%)の材齢 7 日で PC 鋼材を緊張した後, 鋼製定着板, ワ ッシャ, ナットを用いて定着した. コンクリート端部と定着板との間に, 絶 縁を目的とした厚さ 1mm のゴム板を挟み込んだ. 定着後, 定着板上部の穴 からグラウト(W/C=55%)を所定の量だけ注入した. プレストレスを導入しな い供試体については、供試体端部の片方に厚さ 5mm のゴム板を貼り付けて 鋼棒を通し止水処理した後、もう片方の端部からグラウトを所定の量だけ注 入し、ただちにゴム板を貼り付けて止水した. 塩水充填タイプは、プラスチ

供試体名称 プレストレス導入 EX-100-43 無门 100% 43.2h · A EX-50-43 無门 50% 43.2h · A EX-W-43 無し 43 2h · A 塩水 EX-P-100-43 43.2h · A 有り 100% EX-P-50-43 有り 50% 43.2h · A EX-P-W-43 有り 43.2h · A 塩水 EX-100-65 無し 100% 64.8h · A EX-50-65 無し 50% 64.8h · A EX-W-65 塩水 64.8h · A EX-P-100-65 有り 100% 64.8h · A EX-P-50-65 有り 50% 64.8h · A

供試体一覧

表-1





供試体側面図 図-1

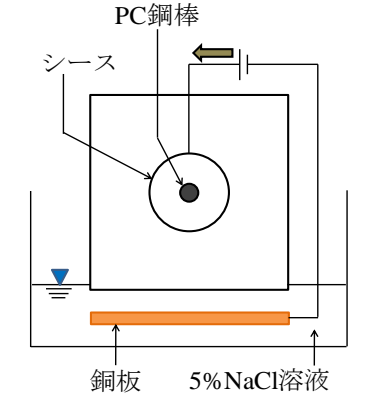


図-2 電食試験の概略図

ック管から塩水を充填し、水位が下がり次第注ぎ足した.電食試験の概略図を図-2に示す.各供試体を質量 濃度 5%の NaCl 溶液の入ったアクリル製プール内に設置し、シースを陽極、供試体の底面に設置した銅板 を陰極として通電した.

キーワード シース,グラウト,電食,ひび割れ幅,導入プレストレス

〒615-8540 京都市西京区京都大学桂 TEL: 075-383-3173 FAX: 075-383-3177 連絡先

2. 3 試験項目

電食試験終了後,供試体の中央 40cm 区間に 5cm 角の網目を描き,網目の軸直角方向の直線とひび割れと の交点のひび割れ幅をクラックゲージで測定した。また、このうち最大の値を最大ひび割れ幅、これらを平 均した値を平均ひび割れ幅と定義した、ひび割れが発生していない部分については、網目の軸直角方向の直 線1本につきひび割れ幅0cmとした. さらに、シースをはつり出し、JCI-SC1に基づき除錆した後、質量を 測定した. この質量と健全なシースの質量との差を健全なシース質量で除した値を質量減少率と定義した.

3. 実験結果および考察

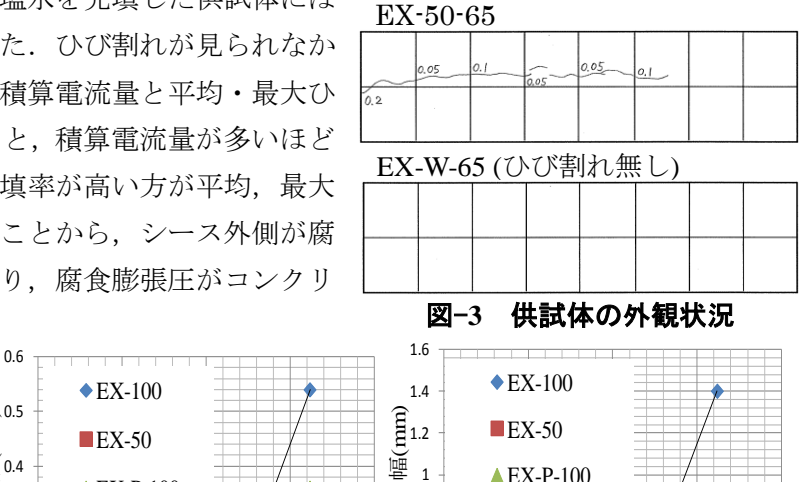
電食終了後の供試体の外観状況を図-3 に示す. グラウト充填率が 100%および 50%のものについては、供試体の塩水に接した面において シースに沿ったひび割れがみられたものの、塩水を充填した供試体には コンクリート表面にひび割れがみられなかった. ひび割れが見られなか った塩水充填タイプ以外の供試体について、積算電流量と平均・最大ひ び割れ幅との関係を図-4に示す.これによると、積算電流量が多いほど ひび割れ幅が大きくなる傾向を示し、また充填率が高い方が平均、最大 ともにひび割れ幅は大きくなっている.このことから、シース外側が腐 食した場合、シース内のグラウトが反力となり、腐食膨張圧がコンクリ

ート外側に伝わり, コンクリートにひび 割れが発生したものと考えられる.一方、 シース内に空隙が存在する、もしくは塩 水が充填された供試体については、シー ス外側の腐食生成物による膨張圧が吸収 されるため、コンクリート表面にひび割 れが発生しにくかったものと考えられる. また、シースの質量減少率と平均・最大 ひび割れ幅との関係を図-5に示す.シー スの質量減少率の増加に伴いひび割れ幅 が増加する傾向を示した. なお, プレス トレス導入の有無とひび割れ幅との間に は明確な相関は認められなかった.

4. まとめ

ポストテンション方式 PC の塩害劣化 を模擬した試験を実施し、 コンクリート 表面に発生するひび割れとグラウト充填 率との関係について検討した. 本試験で 得られた結果を下記に示す.

(1) シース外側を腐食させた場合, グラ



EX-100-65

逕 0.4 堙 1 ▲ EX-P-100 ▲ EX-P-100 **過20.8** 至 0.3 \times EX-P-50 \times EX-P-50 Ď 50.6 **☆** 0.2 0.4 ₩_{0.1} 0.2 20 40 6 積算電流量(h·A) 20 40 th·A) 図−4 積算電流量と平均・最大ひび割れ幅との関係 0.6

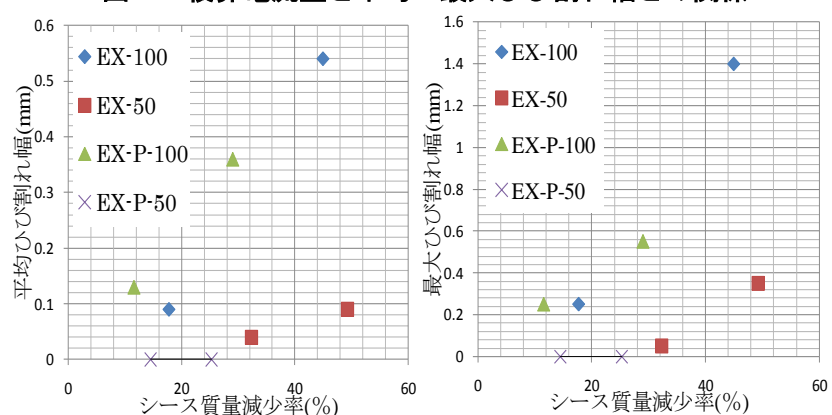


図-5 シース質量減少率と平均・最大ひび割れ幅との関係 ウトの充填率が大きいものがコンクリート表面に発生するひび割れ幅は大きくなった。これは、シース内の グラウトが反力となり、コンクリートに腐食膨張圧を伝達するためだと考えられる.

- (2) グラウトが充填されている供試体について、シースの質量減少率の増加に伴いひび割れ幅が増加する傾 向を示した.
- (3) プレストレス導入の有無によって、コンクリート表面に発生するひび割れに明確な差異は現れなかった.